

Analisi delle caratteristiche funzionali e di resistenza di differenti tipi di parapetti provvisori prefabbricati utilizzati nei cantieri temporanei o mobili

Pubblicazione realizzata da

INAIL

Sezione Ricerca, Certificazione e Verifica
Dipartimento Tecnologie di Sicurezza

AUTORI

Luca Rossi
Luigi Cortis
Francesca Maria Fabiani
Carlo Ratti
Davide Geoffrey Svampa
Calogero Vitale

CON LA COLLABORAZIONE DI

Ivano Bevilacqua
Roberto Scaccia

CONTATTI

INAIL

Sezione Ricerca, Certificazione e Verifica - DTS

Via di Fontana Candida, 1

00040 Monte Porzio Catone (Roma)

r.dts@inail.it

www.inail.it

© 2014 INAIL

La pubblicazione viene distribuita gratuitamente e ne è quindi vietata la vendita nonché la riproduzione con qualsiasi mezzo. È consentita solo la citazione con l'indicazione della fonte.

ISBN 978-88-7484-405-0

Tipolitografia INAIL - Milano, luglio 2014

Indice

| | |
|---|----|
| Introduzione | 5 |
| Premessa | 5 |
| 1. Finalità | 6 |
| 2. Legislazione | 6 |
| 3. Norme europee | 6 |
| 4. Definizioni | 6 |
| 5. Caratteristiche dei parapetti provvisori | 8 |
| 5.1 Generalità | 8 |
| 5.2 Campione 63 | 9 |
| 5.3 Campione 64 | 10 |
| 5.4 Campione 65 | 12 |
| 5.5 Campione 66 | 13 |
| 5.6 Campione 67 | 14 |
| 5.7 Campione 68 | 17 |
| 5.8 Campione 69 | 18 |
| 5.9 Campione 70 | 19 |
| 5.10 Campione 71 | 20 |
| 5.11 Campione 72 | 21 |
| 5.12 Campione 73 | 22 |
| 5.13 Campione 74 | 23 |
| 5.14 Campione 75 | 24 |
| 5.15 Campione 76 | 25 |
| 6. Prove di laboratorio | 26 |
| 6.1 Generalità | 26 |
| 6.2 Prove per la valutazione della conformità ai requisiti di carico statici | 26 |
| 6.3 Prove per la valutazione della conformità ai requisiti di carico dinamici | 30 |

| | | |
|-----------|--|----|
| 7. | Risultati | 36 |
| 7.1 | Generalità | 36 |
| 7.2 | Risultati delle prove relative al parapetto 63 | 36 |
| 7.3 | Risultati delle prove relative al parapetto 64 | 37 |
| 7.4 | Risultati delle prove relative al parapetto 65 | 38 |
| 7.5 | Risultati delle prove relative al parapetto 66 | 39 |
| 7.5 | Risultati delle prove relative al parapetto 67 | 40 |
| 7.6 | Risultati delle prove relative al parapetto 68 | 41 |
| 7.7 | Risultati delle prove relative al parapetto 69 | 42 |
| 7.8 | Risultati delle prove relative al parapetto 70 | 43 |
| 7.9 | Risultati delle prove relative al parapetto 71 | 44 |
| 7.10 | Risultati delle prove relative al parapetto 72 | 45 |
| 7.11 | Risultati delle prove relative al parapetto 73 | 46 |
| 7.12 | Risultati delle prove relative al parapetto 74 | 47 |
| 7.13 | Risultati delle prove relative al parapetto 75 | 49 |
| 7.14 | Risultati delle prove relative al parapetto 76 | 50 |
| 7.15 | Freccia relativa al carico F_I | 50 |
| 7.16 | Freccia residua relativa al carico F_F | 51 |
| 7.17 | Carico ultimo F_{FU} | 51 |
| 8. | Conclusioni | 52 |

Introduzione

È noto che i cantieri edili sono, fra i luoghi di lavoro, quelli in cui è più difficile adottare dispositivi collettivi capaci di proteggere dalla totalità, o almeno dalla maggior parte, dei rischi lavorativi.

La individuazione dei dispositivi di protezione presuppone la determinazione preliminare della natura e dell'entità dei rischi residui ineliminabili sul luogo di lavoro, con particolare riguardo ai seguenti elementi: tipologia dei possibili pericoli per i lavoratori, durata e probabilità del rischio, condizioni lavorative.

L'individuazione del parapetto provvisorio più adatto al luogo di lavoro dipende dalle sue caratteristiche intrinseche e dal tipo di attività svolta nel cantiere. Particolare attenzione va posta riguardo le caratteristiche strutturali dell'opera da proteggere che deve sopportare, fra l'altro, i carichi trasmessi ad essa dal parapetto, tramite l'ancoraggio.

La scelta della tipologia di parapetto provvisorio prefabbricato più idonea avverrà quindi in base al tipo di intervento (costruzione, demolizione, manutenzione), alla tipologia della struttura di ancoraggio (elementi monolitici orizzontali, elementi piani orizzontali, elementi monolitici inclinati, elementi piani inclinati), ai materiali costituenti la struttura stessa (elementi in calcestruzzo gettati in opera, elementi in calcestruzzo prefabbricati, elementi in acciaio, elementi in legno).

I lavori per i quali trovano impiego i parapetti provvisori sono, ad esempio:

- lavori su coperture;
- lavori su solai;
- lavori su ponti;
- lavori su viadotti.

I parapetti provvisori da utilizzare nei luoghi di lavoro devono rispettare i requisiti imposti dal D.Lgs 81/08.

I parapetti provvisori non sono coperti da direttiva di prodotto per cui non è possibile apporre su di essi la marcatura CE.

I parapetti provvisori sono considerati sicuri (presunzione di sicurezza – Codice del consumo - D.Lgs 6 settembre 2005, n. 206 - parte IV, titolo I - Sicurezza dei prodotti) se rispettano la norma tecnica UNI EN 13374.

In assenza di una direttiva di prodotto tale norma tecnica assume un valore ancora più evidente perché, di fatto, rappresenta l'unico strumento condiviso, anche se non obbligatorio.

Il fabbricante quindi può dimostrare il soddisfacimento dei requisiti essenziali di sicurezza previsti nel D.Lgs 206/2005 anche attraverso l'applicazione di una appropriata specifica tecnica per esempio da lui prodotta.

Nel settore delle costruzioni vengono abitualmente utilizzate due tipologie di parapetti provvisori: quelli tradizionali, costruiti in cantiere in legno o in acciaio, e quelli prefabbricati, costruiti in fabbrica e assemblati in cantiere, generalmente in acciaio. Questi ultimi si stanno diffondendo sempre più grazie alla rapidità e alla facilità di installazione e alla loro versatilità per la possibilità di montaggio, con vari sistemi di fissaggio, su diverse tipologie di supporto.

Premessa

Lo studio si inserisce nell'ambito dell'attività di ricerca L16 "L'evoluzione delle metodologie per il miglioramento delle misure di prevenzione e protezione adottate nelle PMI dei cantieri temporanei o mobili" (Responsabile Luca Rossi) del Dipartimento Tecnologie di Sicurezza, che fa parte del programma di ricerca P03 "La sicurezza nel settore delle costruzioni" (Responsabile Luigi Cortis).

Si propone di effettuare un'analisi delle caratteristiche geometriche, funzionali e di resistenza di alcuni fra i tipi di parapetti provvisori prefabbricati più diffusi sul mercato italiano ed impiegati da lavoratori autonomi e dalle PMI. I parapetti provvisori rappresentano uno dei dispositivi di protezione collettiva più efficaci per eliminare o ridurre i rischi derivanti dall'esecuzione dei lavori in quota.

Nel documento verranno confrontate le caratteristiche geometriche, funzionali e di resistenza di questi prodotti con alcuni requisiti previsti nella norma UNI EN 13374: 2004.

1. Finalità

Il presente studio ha lo scopo di verificare, per alcuni fra i prodotti presenti sul mercato, il soddisfacimento dei requisiti geometrici e di resistenza previsti dalla UNI EN 13374:2004.

Tale norma tecnica si applica ai sistemi di protezione dei bordi e suddivide i parapetti provvisori in tre classi, in base ai requisiti prestazionali che possiedono.

La geometria del parapetto deve essere tale da permettere di sostenere una persona che si appoggia alla protezione o di trattenerla quando cammini o cada nella direzione dello stesso (classe A) o trattenerne la caduta di una persona che scivola in basso da una superficie inclinata (classe B), o fortemente inclinata (classe C). La persona cioè non deve attraversare la protezione.

La resistenza del parapetto è fondamentale in quanto esso si deve opporre alle azioni statiche dovute all'appoggio della persona o alla trattenuta della caduta in direzione della protezione (classe A) o alle azioni statiche e dinamiche in caso di urto per scivolamento da una superficie inclinata (classe B) o ancora alle sole azioni dinamiche in caso di urto per scivolamento da una superficie fortemente inclinata (classe C). La persona cioè non deve abbattere la protezione.

Tali elementi, geometria e resistenza, sono essenziali per la valutazione delle caratteristiche che i parapetti provvisori prefabbricati debbono possedere per assolvere alla loro funzione di dispositivo di protezione collettiva.

Nel presente studio si farà riferimento esclusivamente ai requisiti geometrici e di resistenza previsti per le classi A e B.

In particolare si analizzeranno diverse tipologie di montanti prefabbricati, quali supporto principale del parapetto. Partendo da una valutazione geometrica del montante che permette di individuarlo come appartenente alla classe A o B, si procederà alla verifica dei requisiti di resistenza previsti per quella classe attraverso le prove sperimentali indicate dalla UNI EN 13374.

2. Legislazione

D.Lgs 6 settembre 2005, n. 206

Codice del consumo, a norma dell'articolo 7 della legge 29 luglio 2003, n. 229

D.Lgs 9 aprile 2008, n. 81 e s.m.i.

Attuazione dell'articolo 1 della legge 3 agosto 2007, n. 123, in materia di tutela della salute e della sicurezza nei luoghi di lavoro.

3. Norme europee

UNI EN 13374: 2004 – Sistemi di protezione temporanea dei bordi – Specifiche di prodotto e metodi di prova.

4. Definizioni

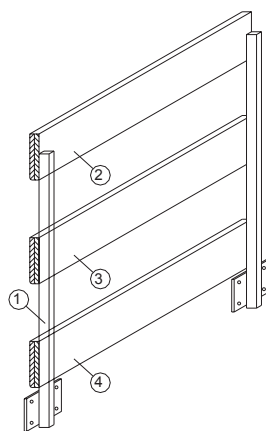
Parapetto provvisorio: sistema costituito da almeno due montanti, da un corrente principale, da un corrente intermedio e da una tavola fermapiede.

Montante: supporto principale, ancorato alla costruzione, sul quale vengono collegati il corrente principale, il corrente intermedio ed il corrente inferiore.

Corrente principale: barriera superiore posizionata ad una altezza minima di 1 m rispetto alla superficie di lavoro.

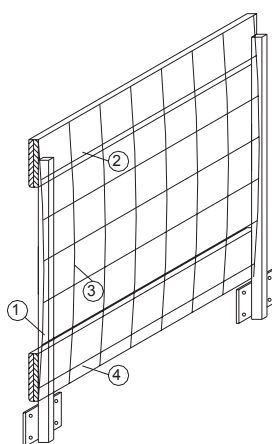
Corrente intermedio: barriera protettiva tra il corrente principale e la superficie di lavoro. Può essere costituita da un elemento rettilineo e/o da una rete, in questo caso viene denominata "protezione intermedia".

Tavola fermapiede: barriera posta in corrispondenza della superficie di lavoro atta ad evitare la caduta del lavoratore. Il bordo superiore è posizionato ad almeno 15 cm sopra la superficie di lavoro.



- 1 Montante
- 2 Corrente principale
- 3 Corrente intermedio
- 4 Tavola fermapiede

Fig. 4-1 Parapetto provvisorio con corrente intermedio



- 1 Montante
- 2 Corrente principale
- 3 Protezione intermedia (rete)
- 4 Tavola fermapiede

Fig. 4-2 Parapetto provvisorio con protezione intermedia

5. Caratteristiche dei parapetti provvisori

5.1 Generalità

In questo capitolo vengono riportate le caratteristiche geometriche e costruttive dei montanti analizzati. Le caratteristiche geometriche sono confrontate con i requisiti geometrici previsti ai punti 5.1 e 5.2 della UNI EN 13374: 2004. Tale confronto permette di classificare ogni montante come componente di un parapetto di classe A o B.

L'altezza del montante, le dimensioni e la posizione delle staffe di supporto del corrente principale, intermedio e della tavola fermapiede, devono consentire di realizzare un sistema di protezione avente le caratteristiche descritte ai punti 5.1 e 5.2 della UNI EN 13374: 2004 e cioè:

- per la classe A,
 - altezza del corrente principale non inferiore a 1000 mm,
 - fermapiede di altezza non inferiore a 150 mm,
 - spazi liberi fra i correnti non superiori a 470 mm.

- per la classe B,
 - altezza del corrente principale non inferiore a 1000 mm,
 - fermapiede di altezza non inferiore a 150 mm,
 - spazi liberi fra i correnti non superiori a 250 mm.

Nelle pagine che seguono, i campioni analizzati sono identificati con un valore numerico per mantenere incognito il riferimento al fabbricante.

5.2 Campione 63

5.2.1 Generalità

Il campione rispetta i requisiti geometrici previsti per la classe A.

È composto da due elementi uniti fra di loro da una barra filettata. Il primo elemento è costituito da un tubo quadro verticale 35×35×1,5 mm, alla cui base è saldata una ganascia in lamiera con foro di diametro 10 mm, per l'appoggio e l'ancoraggio sul manufatto, tre staffe per il posizionamento del corrente principale, del corrente intermedio e della tavola fermapiede. Questo elemento porta al suo interno la barra filettata di collegamento con la parte inferiore mobile, che ha la funzione di serraggio del parapetto sulla soletta, mediante la manovella saldata alla sommità della vite. Il secondo elemento è formato da un tubo quadro 30×30×3 mm, scorrevole all'interno del primo, dotato di una lamiera piegata nella parte inferiore che permette di aderire perfettamente al manufatto.

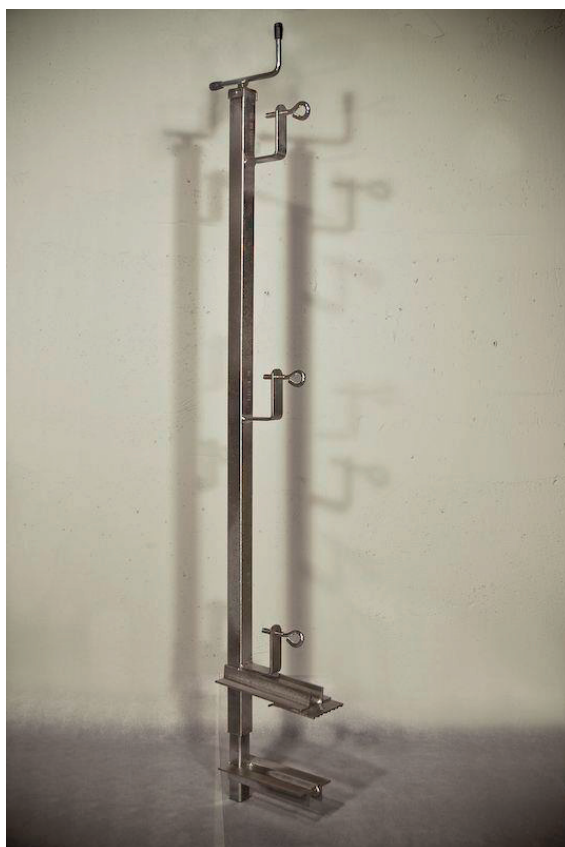


Fig. 5.2.1-1 Modello 63

5.2.2 Analisi visiva e valutazione del metodo di installazione

Il parapetto provvisorio risulta robusto e ben costruito. Il braccio della manovella è un pò corto per cui l'installazione, rispetto agli altri modelli simili testati, è leggermente più complicata.

5.3 Campione 64

5.3.1 Generalità

Il campione rispetta i requisiti geometrici previsti per la classe A.

È composto da due elementi collegabili tra loro mediante innesto a baionetta verticale. Il primo è composto da due profili cavi quadri $45 \times 45 \times 2$ mm saldati ortogonalmente fra loro, dedicati all'innesto a baionetta, e da una morsa per il fissaggio al manufatto mediante ancoranti meccanici o chimici. Il secondo è costituito da tubo quadro verticale $35 \times 35 \times 2$ mm su cui sono saldate due staffe ad L di supporto dei correnti principale ed intermedio e su cui scorre la staffa mobile per il sostegno del fermapiede.



Fig. 5.3.1-1 Modello 64 posizione 1



Fig. 5.3.1-2 Modello 64 posizione 2

5.3.2 Analisi visiva e valutazione del metodo di installazione

Il parapetto provvisorio risulta robusto e ben costruito. Il sistema che permette l'installazione orizzontale e verticale è valido anche se comporta notevoli giochi a parapetto installato.

5.4 Campione 65

5.4.1 Generalità

Il campione rispetta i requisiti geometrici previsti per la classe A.

È costituito da due elementi collegabili tra di loro mediante vite e dado di bloccaggio. Il primo è composto da una piastra inclinata $280 \times 100 \times 6$ mm, forata per il fissaggio al manufatto mediante ancoranti meccanici o chimici, ed un innesto realizzato mediante due elle in lamiera dello spessore di 6 mm. Il secondo è costituito da tubo quadro verticale $35 \times 35 \times 2,5$ mm su cui sono saldate due staffe ad L di supporto dei correnti principale ed intermedio e su cui scorre la staffa mobile per il sostegno del fermapiEDE.



Fig. 5.4.1-1 Modello 65

5.4.2 Analisi visiva e valutazione del metodo di installazione

Il parapetto provvisorio risulta robusto e ben costruito. La piastra inclinata forata, essendo non registrabile, limita il campo di applicazione. Il sistema che permette il serraggio del montante sulla base è scomodo comportando inoltre notevoli giochi a parapetto installato.

5.5 Campione 66

5.5.1 Generalità

Il campione rispetta i requisiti geometrici previsti per la classe A.

È costituito da un tubo quadro verticale $35 \times 35 \times 1,5$ mm, con saldate alla base due L in lamiera con fori per l'appoggio e l'ancoraggio al manufatto. Su di esso sono saldate tre staffe per il fissaggio del corrente principale, del corrente intermedio e della tavola fermapiede.



Fig. 5.5.1-1 Modello 66

5.5.2 Analisi visiva e valutazione del metodo di installazione

Il parapetto provvisorio risulta robusto e ben costruito. Il sistema di fissaggio è pratico e rapido.

5.6 Campione 67

5.6.1 Generalità

Il campione rispetta i requisiti geometrici previsti per la classe A.

È costituito da due elementi, una struttura di ancoraggio a piastra mordente ed un'asta verticale, collegabili tra di loro mediante vite e dado di bloccaggio che permette di assumere tre posizioni. La piastra mordente è composta da un profilo cavo orizzontale rettangolare 60×20×2 mm, da uno cavo verticale rettangolare 60×20×2 mm, saldato sul primo mediante due rinforzi in lamiera, e da un terzo elemento costituito da un profilo cavo rettangolare 60×20×2 mm e da una ganascia che scorre sull'elemento verticale. L'asta verticale è composta da tubo quadro 35×35×2,5 mm su cui sono saldate due staffe ad L di supporto dei correnti principale ed intermedio e su cui scorre la staffa mobile per il sostegno del fermapiede.

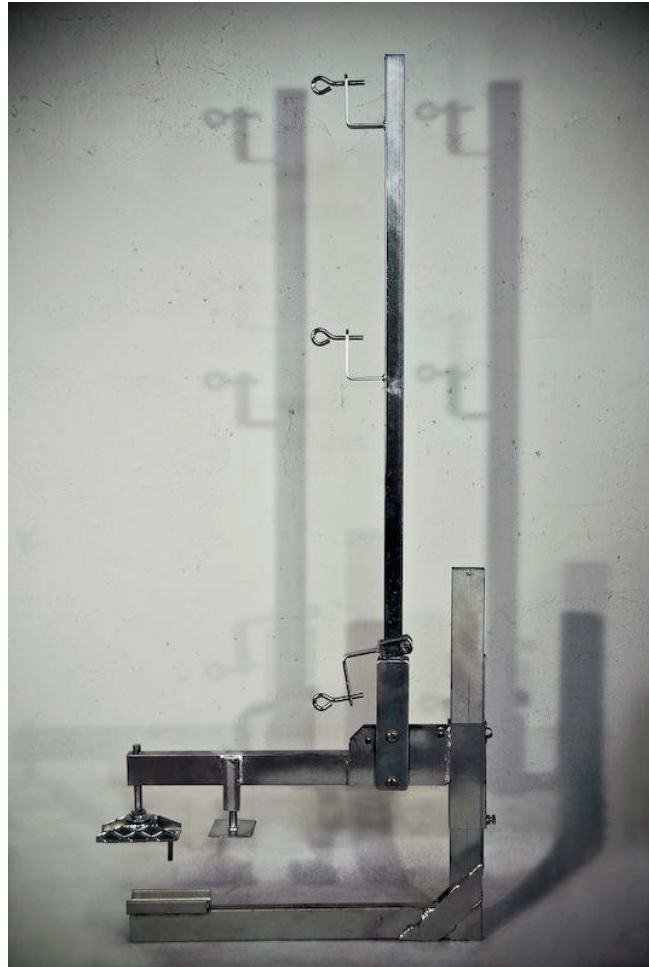


Fig. 5.6.1-1 Modello 67 posizione 1



Fig. 5.6.1-2 Modello 67 posizione 2

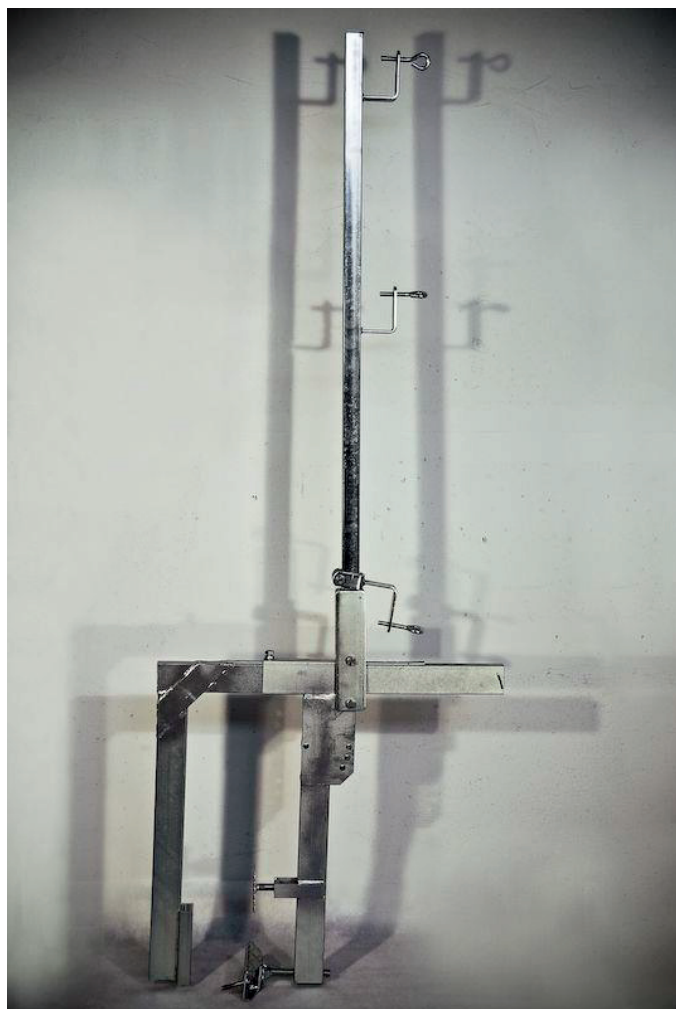


Fig. 5.6.1-3 Modello 68 posizione 3

5.6.2 Analisi visiva e valutazione del metodo di installazione

Il parapetto provvisorio risulta robusto e ben costruito. Il sistema che permette l'installazione orizzontale, verticale e obliqua è valido anche se la capacità di ammortaggio è ridotta e sono presenti dei giochi a parapetto installato.

5.7 Campione 68

5.7.1 Generalità

Il campione rispetta i requisiti geometrici previsti per la classe B.

È costituito da due elementi, la mensola e l'asta, collegati tra loro mediante bullone e dado. La mensola triangolare saldata è composta da due profili a elle verticali $50 \times 50 \times 3$ mm, forati per il fissaggio al manufatto mediante ancoranti meccanici o chimici, da un profilo orizzontale quadro cavo $35 \times 35 \times 2,5$ mm e da uno diagonale quadro $35 \times 35 \times 2,5$ mm. L'asta è costituita da tubo rettangolare verticale $35 \times 35 \times 2,5$ mm saldato su due piastre forate $240 \times 60 \times 4$ mm. Sull'asta sono saldate due staffe ad L di supporto dei correnti principale ed intermedio e su cui scorre una staffa mobile per il sostegno del fermapiede.

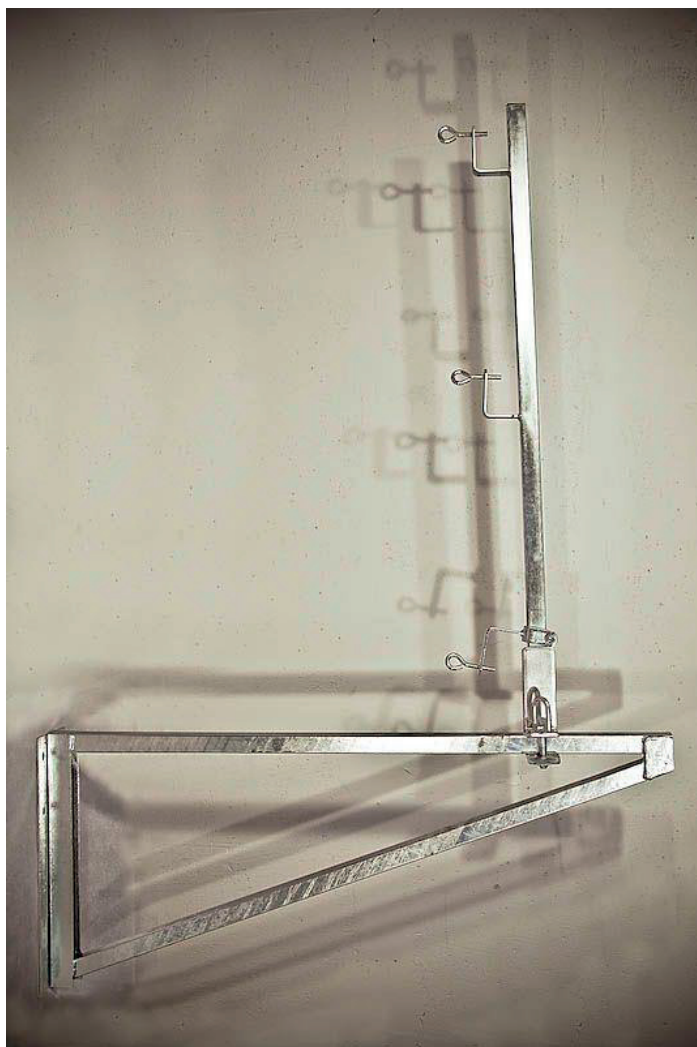


Fig. 5.7.1-1 Modello 68

5.7.2 Analisi visiva e valutazione del metodo di installazione

Il parapetto provvisorio risulta robusto e ben costruito. Il sistema che permette il serraggio del montante sulla mensola è scomodo e comporta notevoli giochi a parapetto installato.

5.8 Campione 69

5.8.1 Generalità

Il campione rispetta i requisiti geometrici previsti per la classe A.

È costituito da due elementi uniti fra di loro da una barra filettata. Il primo è costituito da un tubo quadro verticale 40×40×2 mm, con saldata alla base una ganascia in lamiera per l'appoggio e l'ancoraggio sul manufatto, tre perni con sistema antisfilo per il fissaggio del corrente principale, intermedio e della tavola fermapiède; questo elemento porta al suo interno la barra filettata di collegamento con la parte inferiore mobile, che ha la funzione di serraggio del parapetto sulla soletta, mediante la manovella saldata alla sommità della vite. Il secondo elemento è formato da un tubo quadro 35×35×2 mm, scorrevole all'interno del primo, dotato di una lamiera piegata nella parte inferiore che permette di aderire perfettamente al manufatto.



Fig. 5.8.1-1 Modello 69

5.8.2 Analisi visiva e valutazione del metodo di installazione

Il parapetto provvisorio risulta ben costruito. La ganascia di ammortaggio, non prevedendo fori specifici, consente notevoli giochi a parapetto installato. Il braccio della manovella è un po' corto per cui l'installazione, rispetto agli altri modelli simili testati, è leggermente più complicata.

5.9 Campione 70

5.9.1 Generalità

Il campione rispetta i requisiti geometrici previsti per la classe A.

È costituito da un profilo verticale in tubolare rettangolare 50×30×2 mm saldato su un traverso orizzontale in tubolare rettangolare 50×30×2 mm a cui è fissata la vite di serraggio dell'elemento di contrasto con il cordolo. Sul tubolare verticale sono saldate due staffe ad L di supporto dei correnti principale ed intermedio mentre sul traverso è presente un piatto di supporto del fermapiede. La lunghezza del traverso orizzontale di 390 mm e determina una apertura massima di ammorsaggio di 330 mm.



Fig. 5.9.1-1 Modello 70

5.9.2 Analisi visiva e valutazione del metodo di installazione

Il parapetto provvisorio risulta robusto e ben costruito. Il sistema di fissaggio tramite vite è pratico ma ha capacità di ammorsaggio ridotta e consente giochi a parapetto installato.

5.10 Campione 71

5.10.1 Generalità

Il campione rispetta i requisiti geometrici previsti per la classe A.

È costituito da un profilo verticale in tubolare rettangolare 50×30×2 mm saldato ad un traverso orizzontale in tubolare rettangolare 40×30×2 mm cui è fissata la vite di serraggio dell'elemento di contrasto con il cordolo. Sul tubolare verticale sono saldate due staffe ad L, di supporto dei correnti principale ed intermedio, mentre sul traverso è presente un piatto di supporto del fermapiEDE. La lunghezza del traverso orizzontale di 230 mm e determina una apertura massima di ammortaggio di 180 mm.



Fig. 5.10.1-1 Modello 71

5.10.2 Analisi visiva e valutazione del metodo di installazione

Il parapetto provvisorio risulta ben progettato e costruito. Il sistema di fissaggio tramite vite è pratico ma ha capacità di ammortaggio ridotta e consente giochi a parapetto installato.

5.11 Campione 72

5.11.1 Generalità

Il campione rispetta i requisiti geometrici previsti per la classe B.

È costituito da un profilo verticale in tubolare rettangolare 50×30×2 mm saldato ad un traverso orizzontale in tubolare rettangolare 40×30×2 mm cui è fissata la vite di serraggio dell'elemento di contrasto con il cordolo. Sul tubolare verticale sono saldate due staffe ad L, di supporto dei correnti principale ed intermedio, mentre sul traverso è presente un piatto di supporto del fermapiede. La lunghezza del traverso orizzontale di 350 mm e determina una apertura massima di ammortaggio di 300 mm.

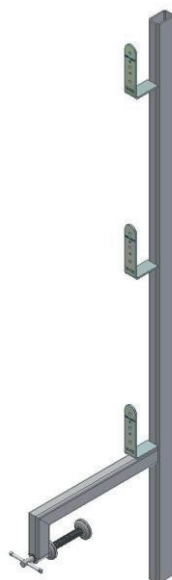


Fig. 5.11.1-1 Modello 72

5.11.2 Analisi visiva e valutazione del metodo di installazione

Il parapetto provvisorio risulta ben progettato e costruito. Il sistema di fissaggio tramite vite è pratico ma ha capacità di ammortaggio ridotta e consente notevoli giochi a parapetto installato in virtù della lunghezza della vite.

5.12 Campione 73

5.12.1 Generalità

Il campione rispetta i requisiti geometrici previsti per la classe B.

È costituito da un profilo in tubolare rettangolare 50×30×2 mm saldato ad un traverso orizzontale in tubolare rettangolare 40×30×2 mm sul quale scorre un morsetto registrabile con il porta vite di serraggio. Il morsetto porta vite può essere posizionato lungo l'asta orizzontale e fissato in posizione mediante vite passante e dado di bloccaggio. La vite di serraggio crea, con la parte inferiore del montante, l'elemento di ammortaggio al cordolo. Sul tubolare verticale sono saldate due staffe ad L, di supporto dei correnti principale ed intermedio, mentre sul traverso è presente un piatto di supporto del fermapiEDE. La capacità di ammortaggio varia da un minimo di 80 ad un massimo di 500 mm.

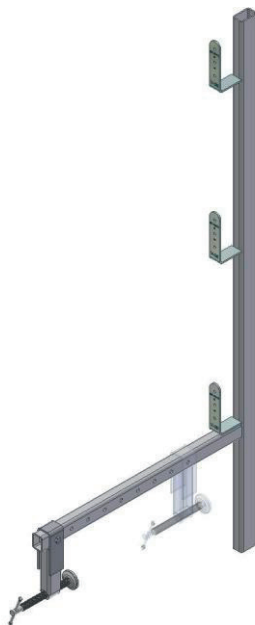


Fig. 5.12.1-1 Modello 73

5.12.2 Analisi visiva e valutazione del metodo di installazione

Il parapetto provvisorio risulta ben progettato e costruito. Il sistema di fissaggio tramite vitone è pratico ma ha capacità di ammortaggio ridotta e consente notevoli giochi a parapetto installato dovuti alla presenza del morsetto registrabile.

5.13 Campione 74

5.13.1 Generalità

Il campione rispetta i requisiti geometrici previsti per la classe B.

È costituito da due elementi collegabili tra di loro mediante vite e dado di bloccaggio. Il primo è costituito da una piastra inclinata $300 \times 280 \times 3$ mm, con sagomatura a greca forata per il fissaggio al manufatto, mediante ancoranti meccanici o chimici, ed un innesto a baionetta cavo rettangolare $70 \times 40 \times 4$ mm. Il secondo è costituito da tubo rettangolare verticale $60 \times 30 \times 3$ mm su cui sono saldate due staffe ad L, di supporto dei correnti principale ed intermedio, e su cui scorre la staffa mobile per il sostegno del fermapiede.



Fig. 5.13.1-1 Modello 74

5.13.2 Analisi visiva e valutazione del metodo di installazione

Il parapetto provvisorio risulta ben progettato e costruito. Il sistema di fissaggio tramite piastra inclinata è pratico anche se consente piccoli giochi a parapetto installato dovuti alla flessibilità della stessa.

5.14 Campione 75

5.14.1 Generalità

Il campione rispetta i requisiti geometrici previsti per la classe B.

È composto da due elementi collegabili tra di loro mediante innesto a baionetta verticale. Il primo è costituito da due profili cavi quadri $45 \times 45 \times 4$ mm, di cui uno dedicato all'innesto a baionetta, e da una piastra verticale, $200 \times 120 \times 4$ mm, forata per il fissaggio al manufatto mediante ancoranti meccanici o chimici. Il secondo è costituito da tubo quadro verticale $40 \times 40 \times 2$ mm su cui sono saldate due staffe ad L, di supporto dei correnti principale ed intermedio, e su cui scorre la staffa mobile per il sostegno del fermapiè.



Fig. 5.14.1-1 Modello 75

5.14.2 Analisi visiva e valutazione del metodo di installazione

Il parapetto provvisorio risulta ben progettato e costruito. Il sistema di fissaggio tramite piastra verticale è rapido e pratico.

5.15 Campione 76

5.15.1 Generalità

Il campione rispetta i requisiti geometrici previsti per la classe B.

È costituito da due elementi, la mensola e l'asta, collegati tra loro mediante due viti con dadi ad alette. La mensola triangolare saldata è composta da un profilo a C verticale $50 \times 50 \times 50 \times 3$ mm con piastra forata $200 \times 120 \times 4$ mm per il fissaggio al manufatto mediante ancoranti meccanici o chimici, da un profilo forato orizzontale cavo rettangolare $60 \times 40 \times 4$ mm e da uno diagonale quadro $40 \times 40 \times 3$ mm. L'asta di compensazione è costituita da tubo rettangolare verticale $60 \times 30 \times 2$ mm saldato su un profilo a C orizzontale $50 \times 50 \times 50 \times 4$ mm, forato e dotato di bullone e dado di serraggio, rinforzato da una nervatura triangolare. Sull'asta sono saldate due staffe ad L, di supporto dei correnti principale ed intermedio, e su cui scorrono due staffe mobili per il sostegno del fermapiEDE e di un ulteriore corrente intermedio in caso di necessità.



Fig. 5.15.1-1 Modello 76

5.15.2 Analisi visiva e valutazione del metodo di installazione

Il parapetto provvisorio risulta ben progettato e costruito. La mensola triangolare saldata consente piccoli giochi a parapetto installato dovuti alla presenza dei profili forati registrabili.

6. Prove di laboratorio

6.1 Generalità

Dopo aver valutato ogni montante come rispondente ai requisiti geometrici previsti per la classe classe A o B, si è proceduto alla verifica dei requisiti di resistenza previsti per quella classe attraverso le prove sperimentali indicate dalla UNI EN 13374:2004.

Ogni montante risultato di classe A per le sue caratteristiche geometriche, è stato sottoposto a prove sperimentali di tipo statico (vedi paragrafo 6.3).

Ogni montante risultato di classe B per le sue caratteristiche geometriche, è stato sottoposto a prove sperimentali di tipo statico e dinamico (vedi paragrafi 6.3 e 6.4).

In questo capitolo è riportata la descrizione dettagliata di tutte le prove effettuate.

Per chiarezza di esposizione è stata riportata l'analisi completa del campione "72", risultato di classe B dalla prima valutazione geometrica. Per tale campione quindi sono state eseguite sia le prove statiche che le prove dinamiche.

Nel capitolo 7 sono riassunti i risultati delle prove eseguite per ogni campione.

6.2 Descrizione dell'attrezzatura di prova

L'attrezzatura di prova utilizzata per l'esecuzione dei tests è composta da:

- una struttura metallica rigida, realizzata in carpenteria metallica;
- pesi calibrati per l'esecuzione delle prove statiche;
- un sacco sferoconico conforme alla EN 596 , con massa di 50 kg, da utilizzare per le prove dinamiche;
- un sistema di sollevamento e sgancio di tipo elettromagnetico da utilizzare per l'esecuzione delle prove dinamiche;
- varie strutture di ancoraggio costituite da elementi in calcestruzzo armato o legno sulle quali vengono fissati i montanti da sottoporre a prova.



Fig. 6.2-1 Attrezzatura di prova - Struttura metallica rigida



Fig. 6.2-2 Sacco sferoconico



Fig. 6.2-3 Sacco sferoconico con sistema di aggancio/sgancio elettromagnetico - Particolare



Fig. 6.2-4 Sistema di sollevamento e sgancio elettromagnetico



Fig. 6.2-5 Sistema di sollevamento e sgancio elettromagnetico - Particolare



Fig. 6.2-6 Esempio di struttura di ancoraggio – Vista frontale



Fig. 6.2-7 Esempio di struttura di ancoraggio – Vista laterale



Fig. 6.2-8 Particolare dell'ancoraggio

6.3 Prove per la valutazione della conformità ai requisiti di carico statici

6.3.1 Prova statica di inflessione (carico F_1 perpendicolare al montante)

6.3.1.1 Procedura di prova

La prova è stata effettuata in conformità a quanto previsto dalla UNI EN 13374: 2004, al punto 6.3.1 per il valore del carico da applicare e ai punti 7.4.1 e 7.4.2 per le modalità di applicazione, sollecitando a flessione il montante, secondo lo schema rappresentato in fig. 6.3.1.1-1.

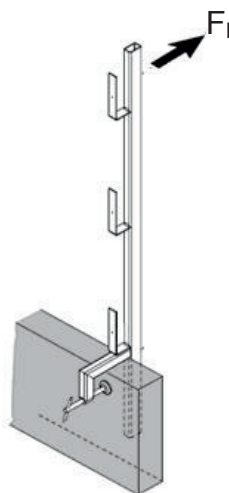


Fig. 6.3.1.1-1 Prova statica di inflessione - carico F_1

Lo scopo della prova è quello di determinare la freccia di inflessione nel punto superiore del montante. Prima dell'esecuzione della prova è stato applicato, per un minuto, un carico di assestamento di 0,10 kN che è stato subito rimosso. La configurazione assunta dal montante in prova è stata assunta come posizione iniziale per le misurazioni effettuate successivamente.

La prova è stata eseguita applicando il carico complessivo di 0,30 kN tramite cinque incrementi regolari di 0,06 kN; il carico di 0,30 kN è stato mantenuto per un minuto allo scopo di determinare le caratteristiche di deformazione del montante provvisorio.

Nel prospetto che segue, per ciascuno dei 4 campioni provati, previsti dal punto 7.4.1 della UNI EN 13374:2004, sono riportati il carico, la freccia relativa e la freccia incrementale relativa allo scorrimento durante l'applicazione dei carichi. Viene altresì riportata la freccia quando il carico massimo viene applicato per un minuto.

| Carico (kN) | Campione (n) | | | |
|-------------|--------------|----|----|----|
| | 1 | 2 | 3 | 4 |
| | Freccia (mm) | | | |
| 0,06 | 2 | 3 | 5 | 3 |
| 0,12 | 5 | 8 | 10 | 9 |
| 0,18 | 11 | 13 | 13 | 13 |
| 0,24 | 17 | 18 | 19 | 17 |
| 0,30 | 21 | 22 | 22 | 22 |
| 0,30/1 min | 21 | 24 | 23 | 24 |

6.3.1.2 Risultati

La freccia elastica risulta non superiore a 55 mm. Pertanto, in accordo a quanto indicato ai punti 6.3.5 e 7.4.2.3 della UNI EN 13374:2004, il montante risulta conforme al requisito stabilito per la freccia elastica sotto un carico caratteristico di 0,30 kN.

6.3.2 Prova statica di resistenza a flessione (carico F_F perpendicolare al montante)

6.3.2.1 Procedura di prova

La prova è stata effettuata in conformità a quanto previsto dalla UNI EN 13374: 2004, ai punti 6.3.1 e 7.4.3.1 per il valore del carico da applicare e ai punti 7.4.1 e 7.4.3 per le modalità di applicazione, sollecitando a flessione il montante, secondo lo schema rappresentato in fig. 6.3.2.1-1. La prova è stata effettuata su quattro campioni.

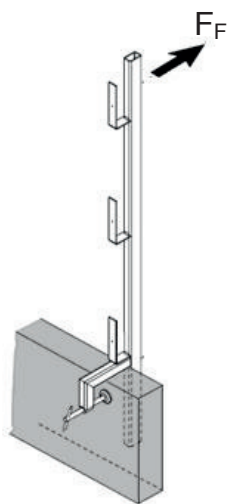


Fig. 6.3.2.1-1 Prova statica di resistenza a flessione - carico F_F

Lo scopo della prova è quello di determinare la freccia di inflessione del montante nel punto superiore al carico massimo, la deformazione residua dopo la rimozione del carico massimo ed il carico di rottura. La freccia è stata rilevata tramite un flessimetro.

La prova è stata eseguita applicando il carico complessivo di 0,49 kN, corrispondente alla forza di $0,30 \times (1,1 \times 1,5)$ kN con i valori dei coefficienti γ_M e γ_F previsti dal punto 6.2.1 della UNI EN 13374: 2004, tramite dieci incrementi regolari di 0,05 kN; il carico di 0,49 kN è stato mantenuto per un minuto. Rimosso il carico è stata valutata la deformazione residua.

Nel prospetto che segue, per ciascuno dei 4 campioni provati, previsti dal punto 7.4.1 della UNI EN 13374: 2004, sono riportati il carico, la freccia relativa e la freccia residua.

| | Campione (n) | | | |
|-------------|--------------|----|----|----|
| | 1 | 2 | 3 | 4 |
| Carico (kN) | Freccia (mm) | | | |
| 0 | 0 | 0 | 0 | 0 |
| 0,49 | 43 | 30 | 32 | 34 |
| 0 | 5 | 0 | 2 | 1 |

Per la determinazione del carico di rottura si è fatto riferimento a quanto previsto dal punto 7.4.3.1 della UNI EN 13374: 2004; il montante provvisorio prefabbricato è stato sollecitato con incrementi regolari di 0,05 kN fino alla determinazione del carico di rottura. Il carico di rottura F_{FU} non deve essere minore di 1,2 volte il carico massimo di prova (0,49 kN).

| Campione (n) | Carico ultimo (kN) | Annotazioni |
|--------------|--------------------|---|
| 1 | 156 | Rilevante deformazione permanente del tubo rettangolare del montante. Nessuna rottura |
| 2 | 156 | " |
| 3 | 156 | " |
| 4 | 156 | " |

6.3.2.2 Risultati

L'esame visivo del montante dopo la prova ha evidenziato la presenza di deformazioni visibili, mentre non ha evidenziato la presenza di fratture o separazioni di parti di esso.

La freccia residua allo scarico risulta non superiore al 10% della freccia massima come previsto dal punto 7.4.3.1 della UNI EN 13374:2004.

Il carico di rottura risulta superiore ad 1,2 volte il carico massimo come previsto dal punto 5.2.2 della UNI EN 13374:2004.

L'elemento provato risulta pertanto conforme ai criteri di accettabilità di cui al punto 7.4.3 della UNI EN 13374:2004.

6.3.3 Prova statica di resistenza a flessione (carico F_{FL} parallelo al corrente principale)

6.3.3.1 Procedura di prova

La prova è stata effettuata in conformità a quanto previsto al punto 6.3.2 della UNI EN 13374:2004 sollecitando a flessione il montante, secondo lo schema rappresentato in fig. 6.3.3.1-1. La prova è stata effettuata su quattro campioni.

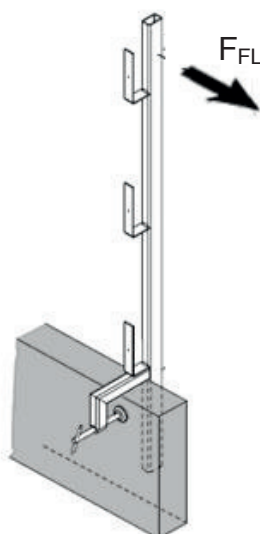


Fig. 6.3.3.1-1 Prova statica di resistenza a flessione - carico F_{FL}

La prova è stata eseguita con il montante posizionato alla estremità della mensola ad una distanza dalla piastra di fissaggio di 1100 mm.

Lo scopo della prova è quello di determinare la resistenza del montante.

La prova è stata eseguita applicando il carico complessivo di 0,20 kN previsto dal punto 6.3.2 della UNI EN 13374; tale carico è stato mantenuto per un minuto.

6.3.3.2 Risultati

L'esame visivo del montante dopo la prova non ha evidenziato la presenza di deformazioni visibili, fratture o separazioni di parti di esso.

L'elemento provato risulta pertanto conforme ai criteri di accettabilità di cui al punto 6.3.2 della UNI EN 13374: 2004.

6.3.4 Prova statica di resistenza a flessione (carico accidentale F_A parallelo al montante)

6.3.4.1 Procedura di prova

La prova è stata effettuata in conformità a quanto previsto al punto 6.3.6 della UNI EN 13374: 2004 sollecitando a flessione il montante, secondo lo schema rappresentato in fig. 6.3.4.1-1. La prova è stata effettuata su quattro campioni.

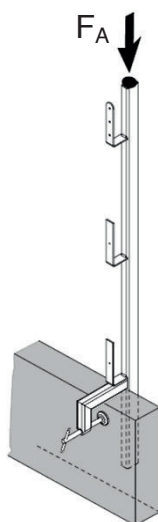


Fig. 6.3.4.1-1 Prova statica di resistenza a flessione - carico F_A

La prova è stata eseguita con il montante posizionato alla estremità della mensola ad una distanza dalla piastra di fissaggio di 1100 mm.

Lo scopo della prova è quello di determinare la resistenza del montante.

La prova è stata eseguita applicando il carico complessivo di 1,25 kN previsto al punto 6.3.6 della UNI EN 13374: 2004, tramite incrementi regolari di 0,14 kN; il carico di 1,25 kN è stato mantenuto per un minuto.

6.3.4.2 Risultati

L'esame visivo del montante dopo la prova non ha evidenziato la presenza di deformazioni visibili, fratture o separazioni di parti di esso.

L'elemento provato risulta pertanto conforme ai criteri di accettabilità di cui al punto 6.3.6 della UNI EN 13374: 2004.

6.4 Prove per la valutazione della conformità ai requisiti di carico dinamici

6.4.1 Prova dinamica d'impatto (carico $F_{T, 1000}$ perpendicolare al montante applicato nella staffa di supporto superiore)

6.4.1.1 Procedura di prova

La prova è stata effettuata in conformità a quanto previsto dalla UNI EN 13374: 2004 al punto 7.5.2.1.4 per il valore dell'energia da applicare e ai punti 7.5.2.1.1 e 7.5.2.1.5 per le modalità ed il punto di applicazione, sollecitando a flessione il montante prefabbricato, secondo lo schema rappresentato in fig. 6.4.1.1-1 , in corrispondenza della staffa ad L principale. La prova è stata effettuata su quattro campioni.

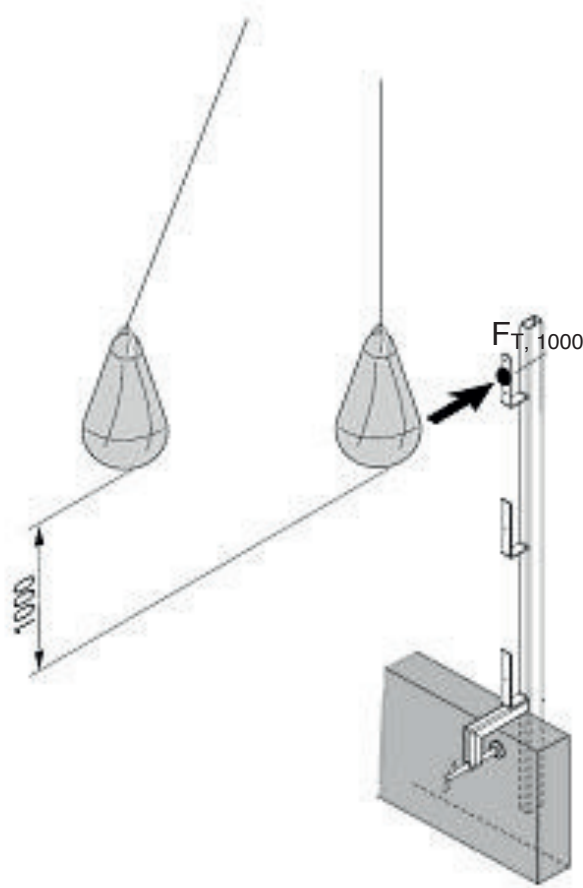


Fig. 6.4.1.1-1 Prova dinamica d'impatto – carico $F_{T, 1000}$

Lo scopo della prova è quello di determinare la capacità del montante di arrestare un sacco sferoconico del peso di 50 kg. Il sacco viene fatto cadere da una altezza di 1,00 m rispetto al punto di impatto, determinando una energia cinetica pari a 500 J.

6.4.1.2 Risultati

L'esame visivo del parapetto provvisorio prefabbricato dopo la prova ha evidenziato che non si è determinata la rottura del montante ma solo la sua deformazione, che non si è determinata il distacco del montante dalla struttura di ancoraggio e che il sacco sferoconico è stato arrestato dal montante.

L'elemento provato risulta pertanto conforme ai criteri di accettabilità di cui al punto 6.4.2 della UNI EN 13374: 2004.

6.4.2 Prova dinamica d'impatto (carico $F_{T, 2250}$ perpendicolare al montante applicato nella staffa di supporto del fermapiede)

6.4.2.1 Procedura di prova

La prova è stata effettuata in conformità a quanto previsto dalla UNI EN 13374: 2004 al punto 7.5.2.1.4 per il valore dell'energia da applicare e ai punti 7.5.2.1.1 e 7.5.2.1.5 per le modalità ed il punto di applicazione, sollecitando a flessione il montante prefabbricato secondo lo schema rappresentato in fig. 6.4.2.1-1, in corrispondenza della staffa ad L del fermapiede. La prova è stata effettuata su quattro campioni.

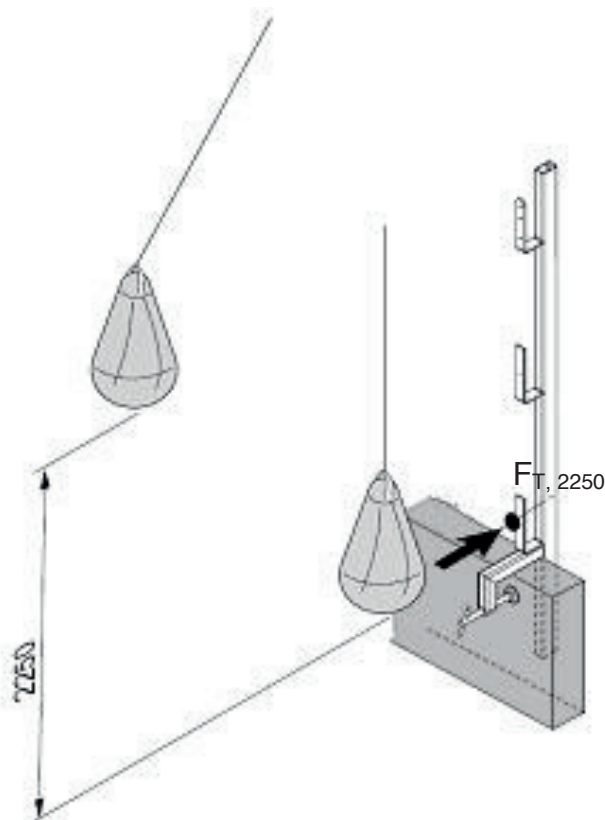


Fig. 6.4.2.1-1 Prova dinamica d'impatto – carico $F_{T, 2250}$

Lo scopo della prova è quello di determinare la capacità del montante di arrestare un sacco sferoconico del peso di 50 kg. Il sacco viene fatto cadere da una altezza di 2,25 m rispetto al punto di impatto, determinando una energia cinetica pari a 1100 J.

6.4.2.2 Risultati

L'esame visivo del parapetto provvisorio prefabbricato dopo la prova ha evidenziato che non si è determinata la rottura del montante ma solo la sua deformazione, che non si è determinata il distacco del montante dalla struttura di ancoraggio e che il sacco sferoconico è stato arrestato dal montante.

L'elemento provato risulta pertanto conforme ai criteri di accettabilità di cui al punto 6.4.2 della UNI EN 13374: 2004.

7. Risultati

7.1 Generalità

Nel presente capitolo vengono riportati i risultati relativi alle prove effettuate secondo le procedure descritte nel capitolo 6 e relative ai campioni indicati nel capitolo 5.

Per ognuno di essi è stata redatta un scheda tipo, che sintetizza i risultati dei tests effettuati, utile per poter fare un confronto tra gli stessi.

7.2 Risultati delle prove relative al parapetto 63

Carico F_I perpendicolare al montante

| | Campione (n) | | | |
|-------------------|-----------------|----|----|----|
| | 1 | 2 | 3 | 4 |
| Carico F_I (kN) | Freccia (mm) | | | |
| 0,06 | 6 | 2 | 2 | 2 |
| 0,12 | 10 | 5 | 5 | 5 |
| 0,18 | 13 | 8 | 7 | 8 |
| 0,24 | 16 | 11 | 9 | 12 |
| 0,30 | 21 | 12 | 11 | 15 |
| 0,30/1 min | 26 | 12 | 12 | 16 |
| Risultato | Conforme | | | |

Carico F_F perpendicolare al montante

| | Campione (n) | | | |
|-------------------|-----------------|-----|-----|-----|
| | 1 | 2 | 3 | 4 |
| Carico F_F (kN) | Freccia (mm) | | | |
| 0 | 0 | 0 | 0 | 0 |
| 0,49 | 43* | 30* | 32* | 34* |
| 0 | 5* | 0* | 2* | 1* |
| Risultato | Conforme | | | |

Carico ultimo F_{FU} perpendicolare al montante

| | Campione (n) | | | |
|----------------------|---|-----|-----|-----|
| | 1 | 2 | 3 | 4 |
| Carico F_{FU} (kN) | 156 | 156 | 156 | 156 |
| Annotazioni | Rilevante deformazione permanente del tubo rettangolare del montante. Nessuna rottura | | | |
| Risultato | Conforme | | | |

Carico F_{FL} parallelo al corrente principale

| | Campione (n) | | | |
|----------------------|-----------------|---|---|---|
| | 1 | 2 | 3 | 4 |
| Carico F_{FL} (kN) | 1 | 2 | 3 | 4 |
| Risultato | Conforme | | | |

Carico accidentale F_A parallelo al montante

| | Campione (n) | | | |
|-------------------|-----------------|---|---|---|
| | 1 | 2 | 3 | 4 |
| Carico F_A (kN) | 1 | 2 | 3 | 4 |
| Risultato | Conforme | | | |

*valore stimato

7.3 Risultati delle prove relative al parapetto 64

Carico F_I perpendicolare al montante

| | Campione (n) | | | |
|-------------------|-----------------|--------------|----|----|
| | 1 | 2 | 3 | 4 |
| Carico F_I (kN) | | | | |
| | | Freccia (mm) | | |
| 0,06 | 2 | 7 | 3 | 3 |
| 0,12 | 5 | 13 | 6 | 4 |
| 0,18 | 9 | 19 | 9 | 6 |
| 0,24 | 12 | 24 | 12 | 8 |
| 0,30 | 14 | 29 | 16 | 12 |
| 0,30/1 min | 16 | 30 | 17 | 21 |
| Risultato | Conforme | | | |

Carico F_F perpendicolare al montante

| | Campione (n) | | | |
|-------------------|-----------------|--------------|-----|-----|
| | 1 | 2 | 3 | 4 |
| Carico F_F (kN) | | | | |
| | | Freccia (mm) | | |
| 0 | 0 | 0 | 0 | 0 |
| 0,49 | 25* | 25* | 25* | 25* |
| 0 | 2* | 2* | 2* | 2* |
| Risultato | Conforme | | | |

Carico ultimo F_{FU} perpendicolare al montante

| | Campione (n) | | | |
|----------------------|---|-----|-----|-----|
| | 1 | 2 | 3 | 4 |
| Carico F_{FU} (kN) | 118 | 118 | 118 | 118 |
| Annotazioni | Rilevante deformazione permanente del tubo quadro del montante. Nessuna rottura | | | |
| Risultato | Conforme | | | |

Carico F_{FL} parallelo al corrente principale

| | Campione (n) | | | |
|----------------------|-----------------|---|---|---|
| | 1 | 2 | 3 | 4 |
| Carico F_{FL} (kN) | | | | |
| 0,20 | 1 | 2 | 3 | 4 |
| Risultato | Conforme | | | |

Carico accidentale F_A parallelo al montante

| | Campione (n) | | | |
|-------------------|-----------------|---|---|---|
| | 1 | 2 | 3 | 4 |
| Carico F_A (kN) | | | | |
| 1,25 | 1 | 2 | 3 | 4 |
| Risultato | Conforme | | | |

*valore stimato

7.4 Risultati delle prove relative al parapetto 65

Carico F_I perpendicolare al montante

| | Campione (n) | | | |
|-------------------|-----------------|----|----|----|
| | 1 | 2 | 3 | 4 |
| Carico F_I (kN) | Freccia (mm) | | | |
| 0,06 | 5 | 7 | 4 | 5 |
| 0,12 | 15 | 17 | 15 | 16 |
| 0,18 | 20 | 20 | 20 | 21 |
| 0,24 | 23 | 23 | 22 | 23 |
| 0,30 | 25 | 25 | 24 | 25 |
| 0,30/1 min | 25 | 25 | 24 | 25 |
| Risultato | Conforme | | | |

Carico F_F perpendicolare al montante

| | Campione (n) | | | |
|-------------------|-----------------|----|----|----|
| | 1 | 2 | 3 | 4 |
| Carico F_F (kN) | Freccia (mm) | | | |
| 0 | 0 | 0 | 0 | 0 |
| 0,49 | 43 | 30 | 32 | 34 |
| 0 | 5 | 0 | 2 | 1 |
| Risultato | Conforme | | | |

Carico ultimo F_{FU} perpendicolare al montante

| | Campione (n) | | | |
|----------------------|---|-----|-----|-----|
| | 1 | 2 | 3 | 4 |
| Carico F_{FU} (kN) | 156 | 156 | 156 | 156 |
| Annotazioni | Rilevante deformazione permanente del tubo rettangolare del montante. Nessuna rottura | | | |
| Risultato | Conforme | | | |

Carico F_{FL} parallelo al corrente principale

| | Campione (n) | | | |
|----------------------|-----------------|---|---|---|
| | 1 | 2 | 3 | 4 |
| Carico F_{FL} (kN) | 0,20 | | | |
| Risultato | Conforme | | | |

Carico accidentale F_A parallelo al montante

| | Campione (n) | | | |
|-------------------|-----------------|---|---|---|
| | 1 | 2 | 3 | 4 |
| Carico F_A (kN) | 1,25 | | | |
| Risultato | Conforme | | | |

Carico $F_{T, 1000}$ perpendicolare al montante (punto superiore)

| | Campione (n) | | | |
|--------------------------|-----------------|---|---|---|
| | 1 | 2 | 3 | 4 |
| Carico $F_{T, 1000}$ (J) | 500 | | | |
| Risultato | Conforme | | | |

Carico $F_{T, 2250}$ perpendicolare al montante (punto inferiore)

| | Campione (n) | | | |
|--------------------------|-----------------|---|---|---|
| | 1 | 2 | 3 | 4 |
| Carico $F_{T, 2250}$ (J) | 1100 | | | |
| Risultato | Conforme | | | |

7.5 Risultati delle prove relative al parapetto 66

Carico F_I perpendicolare al montante

| | Campione (n) | | | |
|-------------------|-----------------|----|----|----|
| | 1 | 2 | 3 | 4 |
| Carico F_I (kN) | Freccia (mm) | | | |
| 0,06 | 7 | 9 | 8 | 9 |
| 0,12 | 10 | 10 | 10 | 10 |
| 0,18 | 12 | 13 | 13 | 13 |
| 0,24 | 14 | 15 | 15 | 15 |
| 0,30 | 16 | 17 | 17 | 17 |
| 0,30/1 min | 17 | 18 | 18 | 19 |
| Risultato | Conforme | | | |

Carico F_F perpendicolare al montante

| | Campione (n) | | | |
|-------------------|-----------------|----|----|----|
| | 1 | 2 | 3 | 4 |
| Carico F_F (kN) | Freccia (mm) | | | |
| 0 | 0 | 0 | 0 | 0 |
| 0,49 | 43 | 30 | 32 | 34 |
| 0 | 5 | 0 | 2 | 1 |
| Risultato | Conforme | | | |

Carico ultimo F_{FU} perpendicolare al montante

| | Campione (n) | | | |
|----------------------|---|-----|-----|-----|
| | 1 | 2 | 3 | 4 |
| Carico F_{FU} (kN) | 156 | 156 | 156 | 156 |
| Annotazioni | Rilevante deformazione permanente del tubo rettangolare del montante. Nessuna rottura | | | |
| Risultato | Conforme | | | |

Carico F_{FL} parallelo al corrente principale

| Carico F_{FL} (kN) | Campione (n) | | | |
|----------------------|-----------------|---|---|---|
| | 1 | 2 | 3 | 4 |
| 0,20 | 1 | 2 | 3 | 4 |
| Risultato | Conforme | | | |

Carico accidentale F_A parallelo al montante

| Carico F_A (kN) | Campione (n) | | | |
|-------------------|-----------------|---|---|---|
| | 1 | 2 | 3 | 4 |
| 1,25 | 1 | 2 | 3 | 4 |
| Risultato | Conforme | | | |

7.5 Risultati delle prove relative al parapetto 67

Posizione 1

Carico F_i perpendicolare al montante

| | Campione (n) | | | |
|-------------------|-----------------|----|----|----|
| | 1 | 2 | 3 | 4 |
| Carico F_i (kN) | Freccia (mm) | | | |
| 0,06 | 7 | 9 | 8 | 9 |
| 0,12 | 10 | 10 | 10 | 10 |
| 0,18 | 12 | 13 | 13 | 13 |
| 0,24 | 14 | 15 | 15 | 15 |
| 0,30 | 16 | 17 | 17 | 17 |
| 0,30/1 min | 17 | 18 | 18 | 19 |
| Risultato | Conforme | | | |

Carico F_F perpendicolare al montante

| | Campione (n) | | | |
|-------------------|-----------------|----|----|----|
| | 1 | 2 | 3 | 4 |
| Carico F_F (kN) | Freccia (mm) | | | |
| 0 | 0 | 0 | 0 | 0 |
| 0,49 | 25 | 26 | 25 | 24 |
| 0 | 2 | 2 | 2 | 1 |
| Risultato | Conforme | | | |

Carico ultimo F_{FU} perpendicolare al montante

| | Campione (n) | | | |
|----------------------|---|-----|-----|-----|
| | 1 | 2 | 3 | 4 |
| Carico F_{FU} (kN) | 118 | 118 | 118 | 118 |
| Annotazioni | Rilevante deformazione permanente del tubo rettangolare del montante. Nessuna rottura | | | |
| Risultato | Conforme | | | |

Carico F_{FL} parallelo al corrente principale

| | Campione (n) | | | |
|----------------------|-----------------|---|---|---|
| | 1 | 2 | 3 | 4 |
| Carico F_{FL} (kN) | | | | |
| 0,20 | 1 | 2 | 3 | 4 |
| Risultato | Conforme | | | |

Carico accidentale F_A parallelo al montante

| | Campione (n) | | | |
|-------------------|-----------------|---|---|---|
| | 1 | 2 | 3 | 4 |
| Carico F_A (kN) | | | | |
| 1,25 | 1 | 2 | 3 | 4 |
| Risultato | Conforme | | | |

7.6 Risultati delle prove relative al parapetto 68

Carico F_I perpendicolare al montante

| | Campione (n) | | | |
|-------------------|-----------------|----|----|----|
| | 1 | 2 | 3 | 4 |
| Carico F_A (kN) | Freccia (mm) | | | |
| 0,06 | 11 | 9 | 10 | 9 |
| 0,12 | 14 | 13 | 13 | 13 |
| 0,18 | 16 | 15 | 15 | 16 |
| 0,24 | 20 | 18 | 19 | 19 |
| 0,30 | 24 | 23 | 23 | 23 |
| 0,30/1 min | 25 | 24 | 26 | 25 |
| Risultato | Conforme | | | |

Carico F_F perpendicolare al montante

| | Campione (n) | | | |
|-------------------|-----------------|----|----|----|
| | 1 | 2 | 3 | 4 |
| Carico F_F (kN) | Freccia (mm) | | | |
| 0 | 0 | 0 | 0 | 0 |
| 0,49 | 43 | 30 | 32 | 34 |
| 0 | 5 | 0 | 2 | 1 |
| Risultato | Conforme | | | |

Carico ultimo F_{FU} perpendicolare al montante

| | Campione (n) | | | |
|----------------------|---|-----|-----|-----|
| | 1 | 2 | 3 | 4 |
| Carico F_{FU} (kN) | 156 | 156 | 156 | 156 |
| Annotazioni | Rilevante deformazione permanente del tubo rettangolare del montante. Nessuna rottura | | | |
| Risultato | Conforme | | | |

Carico F_{FL} parallelo al corrente principale

| | Campione (n) | | | |
|----------------------|-----------------|---|---|---|
| | 1 | 2 | 3 | 4 |
| Carico F_{FL} (kN) | | | | |
| 0,20 | 1 | 2 | 3 | 4 |
| Risultato | Conforme | | | |

Carico accidentale F_A parallelo al montante

| | Campione (n) | | | |
|-------------------|-----------------|---|---|---|
| | 1 | 2 | 3 | 4 |
| Carico F_A (kN) | | | | |
| 1,25 | 1 | 2 | 3 | 4 |
| Risultato | Conforme | | | |

Carico $F_{T, 1000}$ perpendicolare al montante (punto superiore)

| | Campione (n) | | | |
|--------------------------|-----------------|---|---|---|
| | 1 | 2 | 3 | 4 |
| Carico $F_{T, 1000}$ (J) | | | | |
| 500 | 1 | 2 | 3 | 4 |
| Risultato | Conforme | | | |

Carico $F_{T, 2250}$ perpendicolare al montante (punto inferiore)

| | Campione (n) | | | |
|--------------------------|-----------------|---|---|---|
| | 1 | 2 | 3 | 4 |
| Carico $F_{T, 2250}$ (J) | | | | |
| 1100 | 1 | 2 | 3 | 4 |
| Risultato | Conforme | | | |

7.7 Risultati delle prove relative al parapetto 69

Carico F_I perpendicolare al montante

| | Campione (n) | | | |
|-------------------|-----------------|----|----|----|
| | 1 | 2 | 3 | 4 |
| Carico F_I (kN) | Freccia (mm) | | | |
| 0,06 | 1 | 2 | 2 | 2 |
| 0,12 | 3 | 4 | 4 | 4 |
| 0,18 | 5 | 7 | 7 | 7 |
| 0,24 | 8 | 9 | 9 | 9 |
| 0,30 | 11 | 13 | 11 | 11 |
| 0,30/1 min | 20 | 29 | 15 | 13 |
| Risultato | Conforme | | | |

Carico F_F perpendicolare al montante

| | Campione (n) | | | |
|-------------------|-----------------|----|----|----|
| | 1 | 2 | 3 | 4 |
| Carico F_F (kN) | Freccia (mm) | | | |
| 0 | 0 | 0 | 0 | 0 |
| 0,49 | 43 | 30 | 32 | 34 |
| 0 | 5 | 0 | 2 | 1 |
| Risultato | Conforme | | | |

Carico ultimo F_{FU} perpendicolare al montante

| | Campione (n) | | | |
|----------------------|---|-----|-----|-----|
| | 1 | 2 | 3 | 4 |
| Carico F_{FU} (kN) | 156 | 156 | 156 | 156 |
| Annotazioni | Rilevante deformazione permanente del tubo rettangolare del montante. Nessuna rottura | | | |
| Risultato | Conforme | | | |

Carico F_{FL} parallelo al corrente principale

| | Campione (n) | | | |
|----------------------|-----------------|---|---|---|
| | 1 | 2 | 3 | 4 |
| Carico F_{FL} (kN) | 0,20 | | | |
| Risultato | Conforme | | | |

Carico accidentale F_A parallelo al montante

| | Campione (n) | | | |
|-------------------|-----------------|---|---|---|
| | 1 | 2 | 3 | 4 |
| Carico F_A (kN) | 1,25 | | | |
| Risultato | Conforme | | | |

7.8 Risultati delle prove relative al parapetto 70

Carico F_I perpendicolare al montante

| | Campione (n) | | | |
|-------------------|-----------------|---|---|---|
| | 1 | 2 | 3 | 4 |
| Carico F_I (kN) | Freccia (mm) | | | |
| 0,06 | 1 | 1 | 1 | 1 |
| 0,12 | 3 | 2 | 2 | 2 |
| 0,18 | 4 | 3 | 3 | 3 |
| 0,24 | 5 | 4 | 5 | 5 |
| 0,30 | 6 | 6 | 6 | 6 |
| 0,30/1 min | 8 | 9 | 7 | 6 |
| Risultato | Conforme | | | |

Carico F_F perpendicolare al montante

| | Campione (n) | | | |
|-------------------|-----------------|----|----|----|
| | 1 | 2 | 3 | 4 |
| Carico F_F (kN) | Freccia (mm) | | | |
| 0 | 0 | 0 | 0 | 0 |
| 0,49 | 43 | 30 | 32 | 34 |
| 0 | 5 | 0 | 2 | 1 |
| Risultato | Conforme | | | |

Carico ultimo F_{FU} perpendicolare al montante

| | Campione (n) | | | |
|----------------------|---|-----|-----|-----|
| | 1 | 2 | 3 | 4 |
| Carico F_{FU} (kN) | 156 | 156 | 156 | 156 |
| Annotazioni | Rilevante deformazione permanente del tubo rettangolare del montante. Nessuna rottura | | | |
| Risultato | Conforme | | | |

Carico F_{FL} parallelo al corrente principale

| | Campione (n) | | | |
|----------------------|-----------------|---|---|---|
| | 1 | 2 | 3 | 4 |
| Carico F_{FL} (kN) | 1 | 2 | 3 | 4 |
| Risultato | Conforme | | | |

Carico accidentale F_A parallelo al montante

| | Campione (n) | | | |
|-------------------|-----------------|---|---|---|
| | 1 | 2 | 3 | 4 |
| Carico F_A (kN) | 1 | 2 | 3 | 4 |
| Risultato | Conforme | | | |

7.9 Risultati delle prove relative al parapetto 71

Carico F_I perpendicolare al montante

| | Campione (n) | | | |
|-------------------|-----------------|----|----|----|
| | 1 | 2 | 3 | 4 |
| Carico F_I (kN) | Freccia (mm) | | | |
| 0,06 | 16 | 10 | 6 | 12 |
| 0,12 | 22 | 12 | 8 | 21 |
| 0,18 | 26 | 22 | 11 | 34 |
| 0,24 | 28 | 28 | 11 | 36 |
| 0,30 | 30 | 30 | 12 | 38 |
| 0,30/1 min | 30 | 38 | 13 | 38 |
| Risultato | Conforme | | | |

Carico F_F perpendicolare al montante

| | Campione (n) | | | |
|-------------------|-----------------|----|----|----|
| | 1 | 2 | 3 | 4 |
| Carico F_F (kN) | Freccia (mm) | | | |
| 0 | 0 | 0 | 0 | 0 |
| 0,49 | 35 | 38 | 38 | 36 |
| 0 | 4 | 3 | 5 | 4 |
| Risultato | Conforme | | | |

Carico ultimo F_{FU} perpendicolare al montante

| | Campione (n) | | | |
|----------------------|---|-----|-----|-----|
| | 1 | 2 | 3 | 4 |
| Carico F_{FU} (kN) | 156 | 156 | 156 | 156 |
| Annotazioni | Rilevante deformazione permanente del tubo rettangolare del montante. Nessuna rottura | | | |
| Risultato | Conforme | | | |

Carico F_{FL} parallelo al corrente principale

| | Campione (n) | | | |
|----------------------|-----------------|---|---|---|
| | 1 | 2 | 3 | 4 |
| Carico F_{FL} (kN) | 0,20 | | | |
| Risultato | Conforme | | | |

Carico accidentale F_A parallelo al montante

| | Campione (n) | | | |
|-------------------|-----------------|---|---|---|
| | 1 | 2 | 3 | 4 |
| Carico F_A (kN) | 1,25 | | | |
| Risultato | Conforme | | | |

7.10 Risultati delle prove relative al parapetto 72

Carico F_I perpendicolare al montante

| | Campione (n) | | | |
|-------------------|-----------------|--------------|----|----|
| | 1 | 2 | 3 | 4 |
| Carico F_I (kN) | | | | |
| | | Freccia (mm) | | |
| 0,06 | 4 | 4 | 4 | 6 |
| 0,12 | 6 | 6 | 6 | 7 |
| 0,18 | 8 | 8 | 8 | 9 |
| 0,24 | 9 | 10 | 9 | 11 |
| 0,30 | 11 | 12 | 11 | 12 |
| 0,30/1 min | 12 | 12 | 11 | 12 |
| Risultato | Conforme | | | |

Carico F_F perpendicolare al montante

| | Campione (n) | | | |
|-------------------|-----------------|--------------|----|----|
| | 1 | 2 | 3 | 4 |
| Carico F_F (kN) | | | | |
| | | Freccia (mm) | | |
| 0 | 0 | 0 | 0 | 0 |
| 0,49 | 41 | 34 | 36 | 37 |
| 0 | 4 | 4 | 5 | 4 |
| Risultato | Conforme | | | |

Carico ultimo F_{FU} perpendicolare al montante

| | Campione (n) | | | |
|----------------------|---|-----|-----|-----|
| | 1 | 2 | 3 | 4 |
| Carico F_{FU} (kN) | 156 | 156 | 156 | 156 |
| Annotazioni | Rilevante deformazione permanente del tubo rettangolare del montante. Nessuna rottura | | | |
| Risultato | Conforme | | | |

Carico F_{FL} parallelo al corrente principale

| | Campione (n) | | | |
|----------------------|-----------------|---|---|---|
| | 1 | 2 | 3 | 4 |
| Carico F_{FL} (kN) | | | | |
| 0,20 | 1 | 2 | 3 | 4 |
| Risultato | Conforme | | | |

Carico accidentale F_A parallelo al montante

| | Campione (n) | | | |
|-------------------|-----------------|---|---|---|
| | 1 | 2 | 3 | 4 |
| Carico F_A (kN) | | | | |
| 1,25 | 1 | 2 | 3 | 4 |
| Risultato | Conforme | | | |

Carico $F_{T, 1000}$ perpendicolare al montante (punto superiore)

| | Campione (n) | | | |
|--------------------------|-----------------|---|---|---|
| | 1 | 2 | 3 | 4 |
| Carico $F_{T, 1000}$ (J) | | | | |
| 500 | 1 | 2 | 3 | 4 |
| Risultato | Conforme | | | |

Carico $F_{T, 2250}$ perpendicolare al montante (punto inferiore)

| | Campione (n) | | | |
|--------------------------|-----------------|---|---|---|
| | 1 | 2 | 3 | 4 |
| Carico $F_{T, 2250}$ (J) | | | | |
| 1100 | 1 | 2 | 3 | 4 |
| Risultato | Conforme | | | |

7.11 Risultati delle prove relative al parapetto 73

Carico F_I perpendicolare al montante

| | Campione (n) | | | |
|-------------------|-----------------|--------------|----|----|
| | 1 | 2 | 3 | 4 |
| Carico F_I (kN) | | | | |
| | | Freccia (mm) | | |
| 0,06 | 5 | 3 | 5 | 3 |
| 0,12 | 20 | 17 | 21 | 20 |
| 0,18 | 22 | 19 | 22 | 22 |
| 0,24 | 25 | 24 | 27 | 26 |
| 0,30 | 28 | 27 | 30 | 28 |
| 0,30/1 min | 30 | 27 | 30 | 29 |
| Risultato | Conforme | | | |

Carico F_F perpendicolare al montante

| | Campione (n) | | | |
|-------------------|-----------------|--------------|----|----|
| | 1 | 2 | 3 | 4 |
| Carico F_F (kN) | | | | |
| | | Freccia (mm) | | |
| 0 | 0 | 0 | 0 | 0 |
| 0,49 | 43 | 30 | 32 | 34 |
| 0 | 5 | 0 | 2 | 1 |
| Risultato | Conforme | | | |

Carico ultimo F_{FU} perpendicolare al montante

| | Campione (n) | | | |
|----------------------|---|-----|-----|-----|
| | 1 | 2 | 3 | 4 |
| Carico F_{FU} (kN) | 156 | 156 | 156 | 156 |
| Annotazioni | Rilevante deformazione permanente del tubo rettangolare del montante. Nessuna rottura | | | |
| Risultato | Conforme | | | |

Carico F_{FL} parallelo al corrente principale

| | Campione (n) | | | |
|----------------------|-----------------|---|---|---|
| | 1 | 2 | 3 | 4 |
| Carico F_{FL} (kN) | | | | |
| 0,20 | 1 | 2 | 3 | 4 |
| Risultato | Conforme | | | |

Carico accidentale F_A parallelo al montante

| | Campione (n) | | | |
|-------------------|-----------------|---|---|---|
| | 1 | 2 | 3 | 4 |
| Carico F_A (kN) | | | | |
| 1,25 | 1 | 2 | 3 | 4 |
| Risultato | Conforme | | | |

Carico $F_{T, 1000}$ perpendicolare al montante (punto superiore)

| | Campione (n) | | | |
|--------------------------|-----------------|---|---|---|
| | 1 | 2 | 3 | 4 |
| Carico $F_{T, 1000}$ (J) | | | | |
| 500 | 1 | 2 | 3 | 4 |
| Risultato | Conforme | | | |

Carico $F_{T, 2250}$ perpendicolare al montante (punto inferiore)

| | Campione (n) | | | |
|--------------------------|-----------------|---|---|---|
| | 1 | 2 | 3 | 4 |
| Carico $F_{T, 2250}$ (J) | | | | |
| 1100 | 1 | 2 | 3 | 4 |
| Risultato | Conforme | | | |

7.12 Risultati delle prove relative al parapetto 74

Carico F_I perpendicolare al montante

| | Campione (n) | | | |
|-------------------|-----------------|----|----|----|
| | 1 | 2 | 3 | 4 |
| Carico F_I (kN) | Freccia (mm) | | | |
| 0,06 | 6 | 6 | 9 | 7 |
| 0,12 | 10 | 8 | 13 | 10 |
| 0,18 | 14 | 10 | 15 | 13 |
| 0,24 | 16 | 12 | 17 | 15 |
| 0,30 | 18 | 14 | 20 | 16 |
| 0,30/1 min | 18 | 16 | 20 | 18 |
| Risultato | Conforme | | | |

Carico F_F perpendicolare al montante

| | Campione (n) | | | |
|-------------------|-----------------|----|----|----|
| | 1 | 2 | 3 | 4 |
| Carico F_F (kN) | Freccia (mm) | | | |
| 0 | 0 | 0 | 0 | 0 |
| 0,49 | 25 | 26 | 24 | 25 |
| 0 | 3 | 4 | 4 | 3 |
| Risultato | Conforme | | | |

Carico ultimo F_{FU} perpendicolare al montante

| | Campione (n) | | | |
|----------------------|--|-----|-----|-----|
| | 1 | 2 | 3 | 4 |
| Carico F_{FU} (kN) | 206 | 206 | 206 | 206 |
| Annotazioni | Rilevante deformazione del montante. Nessuna rottura | | | |
| Risultato | Conforme | | | |

Carico F_{FL} parallelo al corrente principale

| | Campione (n) | | | |
|----------------------|-----------------|---|---|---|
| | 1 | 2 | 3 | 4 |
| Carico F_{FL} (kN) | 0,20 | | | |
| Risultato | Conforme | | | |

Carico accidentale F_A parallelo al montante

| | Campione (n) | | | |
|-------------------|-----------------|---|---|---|
| | 1 | 2 | 3 | 4 |
| Carico F_A (kN) | 1,25 | | | |
| Risultato | Conforme | | | |

Carico $F_{T, 1000}$ perpendicolare al montante (punto superiore)

| | Campione (n) | | | |
|--------------------------|-----------------|---|---|---|
| | 1 | 2 | 3 | 4 |
| Carico $F_{T, 1000}$ (J) | 500 | | | |
| Risultato | Conforme | | | |

Carico $F_{T, 2250}$ perpendicolare al montante (punto inferiore)

| | Campione (n) | | | |
|--------------------------|-----------------|---|---|---|
| | 1 | 2 | 3 | 4 |
| Carico $F_{T, 2250}$ (J) | 1100 | | | |
| Risultato | Conforme | | | |

7.13 Risultati delle prove relative al parapetto 75

Carico F_I perpendicolare al montante

| Carico F_I (kN) | Campione (n) | | | |
|-------------------|-----------------|----|----|----|
| | 1 | 2 | 3 | 4 |
| | | | | |
| | | | | |
| 0,06 | 4 | 0 | 7 | 9 |
| 0,12 | 5 | 5 | 14 | 14 |
| 0,18 | 9 | 11 | 19 | 20 |
| 0,24 | 14 | 16 | 24 | 27 |
| 0,30 | 34 | 22 | 31 | 33 |
| 0,30/1 min | 36 | 29 | 33 | 35 |
| Risultato | Conforme | | | |

Carico F_F perpendicolare al montante

| Carico F_F (kN) | Campione (n) | | | |
|-------------------|-----------------|----|----|----|
| | 1 | 2 | 3 | 4 |
| | | | | |
| | | | | |
| 0 | 0 | 0 | 0 | 0 |
| 0,49 | 50 | 48 | 51 | 50 |
| 0 | 5 | 4 | 5 | 5 |
| Risultato | Conforme | | | |

Carico ultimo F_{FU} perpendicolare al montante

| Carico F_{FU} (kN) | Campione (n) | | | |
|----------------------|---|-----|-----|-----|
| | 1 | 2 | 3 | 4 |
| | | | | |
| | | | | |
| 166 | 166 | 166 | 166 | 166 |
| Annotazioni | Rilevante deformazione della piastra. Nessuna rottura | | | |
| Risultato | Conforme | | | |

Carico F_{FL} parallelo al corrente principale

| Carico F_{FL} (kN) | Campione (n) | | | |
|----------------------|-----------------|---|---|---|
| | 1 | 2 | 3 | 4 |
| | | | | |
| 0,20 | 1 | 2 | 3 | 4 |
| Risultato | Conforme | | | |

Carico accidentale F_A parallelo al montante

| Carico F_A (kN) | Campione (n) | | | |
|-------------------|-----------------|---|---|---|
| | 1 | 2 | 3 | 4 |
| | | | | |
| 1,25 | 1 | 2 | 3 | 4 |
| Risultato | Conforme | | | |

Carico $F_{T, 1000}$ perpendicolare al montante (punto superiore)

| Carico $F_{T, 1000}$ (J) | Campione (n) | | | |
|--------------------------|-----------------|---|---|---|
| | 1 | 2 | 3 | 4 |
| | | | | |
| 500 | 1 | 2 | 3 | 4 |
| Risultato | Conforme | | | |

Carico $F_{T, 2250}$ perpendicolare al montante (punto inferiore)

| Carico $F_{T, 2250}$ (J) | Campione (n) | | | |
|--------------------------|-----------------|---|---|---|
| | 1 | 2 | 3 | 4 |
| | | | | |
| 1100 | 1 | 2 | 3 | 4 |
| Risultato | Conforme | | | |

7.14 Risultati delle prove relative al parapetto 76

Carico F_I perpendicolare al montante

| | Campione (n) | | | |
|-------------------|-----------------|----|----|----|
| | 1 | 2 | 3 | 4 |
| Carico F_I (kN) | Freccia (mm) | | | |
| 0,06 | 20 | 28 | 25 | 22 |
| 0,12 | 37 | 31 | 30 | 35 |
| 0,18 | 41 | 36 | 35 | 40 |
| 0,24 | 42 | 38 | 38 | 43 |
| 0,30 | 47 | 41 | 43 | 46 |
| 0,30/1 min | 47 | 42 | 44 | 47 |
| Risultato | Conforme | | | |

Carico F_F perpendicolare al montante

| | Campione (n) | | | |
|-------------------|-----------------|----|----|----|
| | 1 | 2 | 3 | 4 |
| Carico F_F (kN) | Freccia (mm) | | | |
| 0 | 0 | 0 | 0 | 0 |
| 0,49 | 50 | 48 | 51 | 50 |
| 0 | 5 | 4 | 5 | 5 |
| Risultato | Conforme | | | |

Carico ultimo F_{FU} perpendicolare al montante

| | Campione (n) | | | |
|----------------------|---|-----|-----|-----|
| | 1 | 2 | 3 | 4 |
| Carico F_{FU} (kN) | 166 | 166 | 166 | 166 |
| Annotazioni | Rilevante deformazione della piastra. Nessuna rottura | | | |
| Risultato | Conforme | | | |

Carico F_{FL} parallelo al corrente principale

| Carico F_{FL} (kN) | Campione (n) | | | |
|----------------------|-----------------|---|---|---|
| | 1 | 2 | 3 | 4 |
| 0,20 | 1 | 2 | 3 | 4 |
| Risultato | Conforme | | | |

Carico accidentale F_A parallelo al montante

| Carico F_A (kN) | Campione (n) | | | |
|-------------------|-----------------|---|---|---|
| | 1 | 2 | 3 | 4 |
| 1,25 | 1 | 2 | 3 | 4 |
| Risultato | Conforme | | | |

Carico $F_{T, 1000}$ perpendicolare al montante (punto superiore)

| Carico $F_{T, 1000}$ (J) | Campione (n) | | | |
|--------------------------|-----------------|---|---|---|
| | 1 | 2 | 3 | 4 |
| 500 | 1 | 2 | 3 | 4 |
| Risultato | Conforme | | | |

Carico $F_{T, 2250}$ perpendicolare al montante (punto inferiore)

| Carico $F_{T, 2250}$ (J) | Campione (n) | | | |
|--------------------------|-----------------|---|---|---|
| | 1 | 2 | 3 | 4 |
| 1100 | 1 | 2 | 3 | 4 |
| Risultato | Conforme | | | |

7.15 Freccia relativa al carico F_I

In questo paragrafo vengono riportate la media della freccia relativa al carico F_I per tutti i parapetti provati.

| | <i>Valor medio della freccia (mm)</i> |
|--------------------|---------------------------------------|
| <i>Campione 63</i> | 16 |
| <i>Campione 64</i> | 21 |
| <i>Campione 65</i> | 25 |
| <i>Campione 66</i> | 18 |
| <i>Campione 67</i> | 18 |
| <i>Campione 68</i> | 25 |
| <i>Campione 69</i> | 19 |
| <i>Campione 70</i> | 7 |
| <i>Campione 71</i> | 30 |
| <i>Campione 72</i> | 12 |
| <i>Campione 73</i> | 29 |
| <i>Campione 74</i> | 18 |
| <i>Campione 75</i> | 33 |
| <i>Campione 76</i> | 45 |

La media delle frecce relative al carico F_I è pari a 22,57 mm.

7.16 Freccia residua relativa al carico F_F

In questo paragrafo vengono riportate la media della freccia residua relativa al carico F_F per tutti i parapetti provati.

| | <i>Valor medio della freccia residua (mm)</i> |
|--------------------|---|
| <i>Campione 63</i> | 2 |
| <i>Campione 64</i> | 2 |
| <i>Campione 65</i> | 2 |
| <i>Campione 66</i> | 2 |
| <i>Campione 67</i> | 2 |
| <i>Campione 68</i> | 2 |
| <i>Campione 69</i> | 19 |
| <i>Campione 70</i> | 7 |
| <i>Campione 71</i> | 30 |
| <i>Campione 72</i> | 12 |
| <i>Campione 73</i> | 29 |
| <i>Campione 74</i> | 18 |
| <i>Campione 75</i> | 33 |
| <i>Campione 76</i> | 45 |

La media delle frecce residue relative al carico F_F è pari a 14,64 mm.

7.17 Carico ultimo F_{FU}

In questo paragrafo vengono riportate la media del carico ultimo F_{FU} per tutti i parapetti provati.

| | <i>Valor medio carico ultimo (kN)</i> |
|--------------------|---------------------------------------|
| <i>Campione 63</i> | 156 |
| <i>Campione 64</i> | 156 |
| <i>Campione 65</i> | 156 |
| <i>Campione 66</i> | 118 |
| <i>Campione 67</i> | 156 |
| <i>Campione 68</i> | 156 |
| <i>Campione 69</i> | 118 |
| <i>Campione 70</i> | 156 |
| <i>Campione 71</i> | 156 |
| <i>Campione 72</i> | 156 |
| <i>Campione 73</i> | 156 |
| <i>Campione 74</i> | 206 |
| <i>Campione 75</i> | 166 |
| <i>Campione 76</i> | 166 |

La media delle carichi ultimi F_{FU} è pari a 155,57 mm.

8. Conclusioni

Le prove effettuate hanno evidenziato che tutti i montanti analizzati risultano conformi ai requisiti geometrici e di resistenza previsti per i parapetti di classe A o B secondo la UNI EN 13374:2004.

Solo alcuni montanti risultavano già certificati dai fabbricanti ai sensi della UNI EN 13374:2004. Altri seguono specifiche tecniche differenti, adottate a scelta dai fabbricanti.

Per i primi quindi si è trattato di una conferma, per gli altri invece, si è trattato di una verifica ex-novo.